

6. Tekel' P., Vicenik K., Mišíková I., Maco M., Kričfaluši M., Kužmová J., Kneppo P. Investigation of multipole representation of the cardiac biomagnetic field with respect to the real torso geometry.— In: Proc. of 5th World Conference on Biomagnetism, Vancouver, Canada, 1984.
7. Kneppo P. and Titomir L. I. Integral characteristics of human cardiac electric generator from electric field measurements by means of automatic coordinator.— IEEE Trans. Bio-Med. Eng., 1979, v. BME-26, p. 24–28.
8. Peters M. J., Swenrehuis M. J. M. van Oosterom, Wevers-Henke J. J. The influence of inhomogeneities on the cardiac magnetic field distribution.— Il Nuovo Cimento, 1983, v. 2D, p. 324–339.
9. Titomir L. I., Kneppo P. Simultaneous analysis of the cardiac electric and magnetic fields using the scalar multipole expansion.— Bull. Mathem. Biology, 1985, v. 47, N 1, p. 123–143.
10. Zrubec V., Vicenik K., Vrabček P., Bartók K., Skrúcaný R. Direct measurement of brain magnetic field with superconducting quantum magnetometers and its clinical perspective. 16.— In: Internationales Symposium Tieftemperaturphysik und Kryo-elektronik. Bad Blankenburg, DDR, 1984.

Поступило в редакцию 10 октября 1985 г.

УДК 61.007 : 61 : 681.142.4 : 612.822.3

И. Н. ПОПОВ, М. Ф. ПЫШНЫЙ, Г. А. ШАРАЕВ,
И. А. ШЕВЕЛЕВ

(Москва)

АВТОМАТИЗИРОВАННОЕ КАРТИРОВАНИЕ РЕЦЕПТИВНЫХ ПОЛЕЙ ЗРИТЕЛЬНЫХ НЕЙРОНОВ

До сих пор исследование рецептивного поля (РП) нейрона зрительной системы, т. е. совокупности фоторецепторов, посылающих к нему сигналы, проводится, как правило, вручную. Карттирование РП заключается в том, что на проекционном экране в поле зрения животного появляются вспыхивающие или движущиеся изображения (световые пятна, решетки, полосы), а реакция нейрона на них соотносится с координатами экрана. Такие исследования весьма важны для понимания переработки зрительной информации в мозге человека и животных и для построения адаптивных систем искусственного зрения в робототехнике. Назрела необходимость детального количественного исследования РП зрительных нейронов путем карттирования их движущимися и вспыхивающими изображениями, прельзываемыми ЭВМ в случайном порядке в разных частях поля зрения. В литературе есть отдельные указания на такие опыты, однако до сих пор они были крайне ограничены по задачам и возможностям и использовали неизменные по параметрам раздражители [1–3].

В настоящей работе описан разработанный нами аппаратурно-программный комплекс для количественного исследования РП зрительных нейронов в ходе управляемого от ЭВМ эксперимента, позволивший проводить оптимизацию программ тестирования РП каждого нейрона в соответствии с его индивидуальными функциональными свойствами.

Установка для автоматизированного исследования РП зрительных нейронов. Установка включает следующие основные приборы и блоки (рис. 1): микроманипулятор 1 для подведения электрода к нейрону; микроэлектродный усилитель 3 с катодным повторителем 2; осциллограф для контроля регистрируемой активности 4; амплитудный дискриминатор-формирователь 5 с контролльным осциллографом 6;

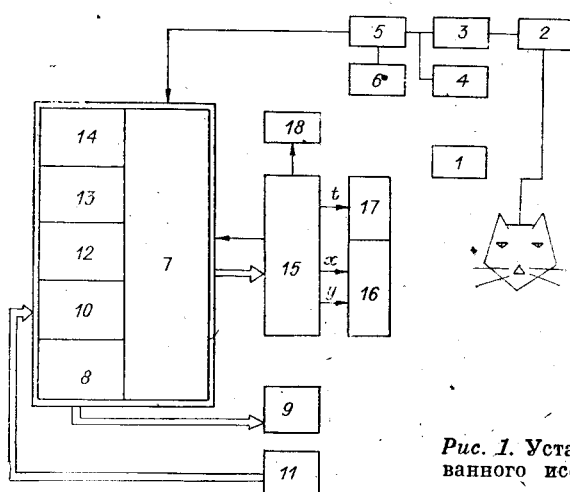


Рис. 1. Установка для автоматизированного исследования РП зрительных нейронов

мини- или микроЭВМ 7; фотостимулятор проекционного типа [4] с двухкоординатным электромеханическим отклонением светового луча зеркальными гальванометрами 16 и с электромеханическим затвором 17; программируемый контроллер для связи ЭВМ с фотостимулятором 15; графопостроитель 18.

В одну из двух созданных нами автоматизированных установок включена ми-ни-ЭВМ «Мульти-4» из программируемого ядерного анализатора ИН-90 («Интертех-ник», Франция) с оперативной памятью 64 кбайт, основным дисплеем 8 и пультом управления 10 для программиста, дополнительным дисплеем 9 и пультом 11 для экспериментатора, цифровечатающим устройством 12, накопителями на гибких дис-ках 13 и магнитной ленте 14. Основой второй аналогичной по назначению установки стала микроЭВМ «Электроника 60М» и крейт КАМАК с набором модулей.

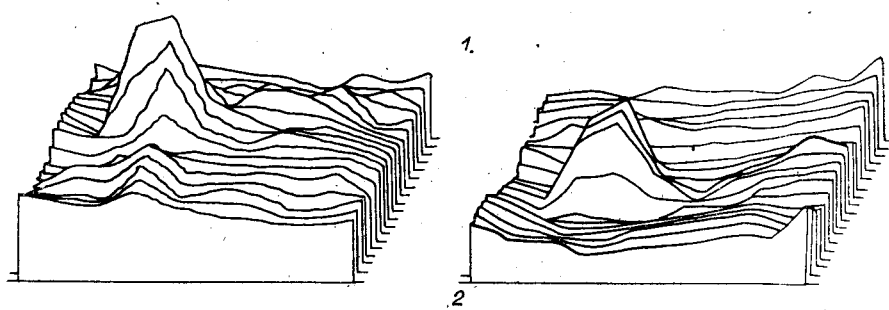
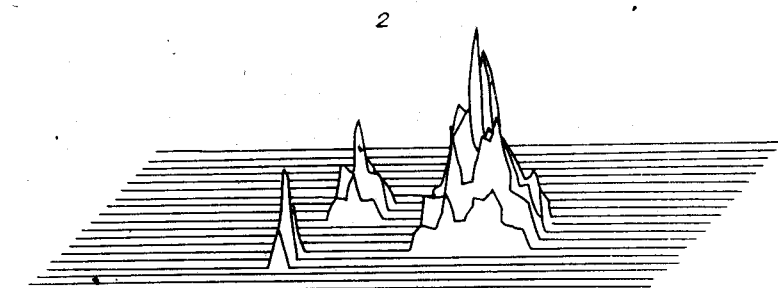
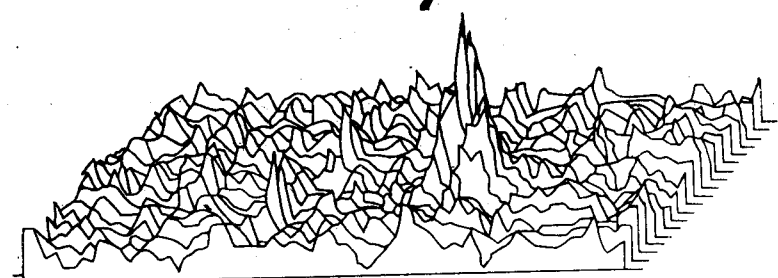
Блоки 5, 9, 11, 15, 16 и 17 разработаны и изготовлены авторами. Программируемый контроллер 15 обеспечивает несколько режимов управления фотостимулятором: различные виды сканирования движущимися световыми стимулами проекционного экрана и предъявление в произвольных его точках световых вспышек. Вид сканирова-ния, количество его циклов, скорость движения стимула и угол поворота его к гори-зонту, размеры стимулируемой области, а также координаты тестируемых вспы-шками точек программируются как от ЭВМ (через ее двухбайтовый канал цифрового вывода), так и от автономного пульта управления контроллера. Основу контроллера составляют два 10-разрядных цифроаналоговых преобразователя с двоичными реверсивными счетчиками, схемами управления, интерфейсом связи с ЭВМ и мультиплексором, переключающим контроллер на ручной или автоматический режим управления.

Программное обеспечение управляемого эксперимента. Создан пакет программ накопления данных, их обработка, записи на магнитный носитель и визуализации, а также управления фотостимулятором. Ряд программ осуществляет автоматиче-ский поиск РП его разрядного центра. При разработке этих алгоритмов мы стреми-лись к тому, чтобы реализующие их программы имитировали аналогичную деятель-ность опытного экспериментатора, имеющего ту же информацию, которой располагает программа. Перечисленные программы включены в виде подпрограмм в большую диалоговую программу организации управляемого эксперимента. Диалог экспериментатора и программы происходит с помощью пульта управления и дисплея. В ходе эксперимента ЭВМ визуализирует на дисплее текущие ответы нейрона, а затем после окончания накопления данных выводят на дисплей перистимульные гисто-граммы импульсаций нейрона (ПСТГ), карты нейронной активности (рис. 2) и не-которые текстовые высказывания, требующие от экспериментатора альтернативного выбора. Наличие такого выбора на каждом этапе дает экспериментатору возможность вносить корректировки в ход программы, заново параметризовать ее или утверждать предлагаемые ЭВМ решения о дальнейшем ходе опыта. Результаты машинного поиска РП или его разрядного центра (возможно, скорректированные экспериментатором) модифицируют или по-иному параметризуют программу дальнейшей стимуляции, тем самым гибко и оптимально приспособливая ее к индивидуальным особенностям РП исследуемого нейрона.

При разработке программы на ЭВМ ИН-90 использовались языки программи-рования трех уровней: общая организационная и диалоговая программа написана на языке ЛЕМ-2 (аналог языка Бейсик), основные подпрограммы, ведающие обработкой данных и визуализацией,— на Фортране-IV, а операции, требующие наибольшего быстродействия (накопление данных, их пересылка), программировались на Ассем-блере. На ЭВМ «Электроника 60М» программирование велось на языках Квейсик и Ассемблер.

Ход управляемого эксперимента. Отведение импульсов, генерируемых одиноч-ными пейронами подкоркового зрительного центра — наружного коленчатого тела или зрительной коры мозга кошки, производилось вакуумно стеклянными или воль-фрамовыми микроэлектродами, погруженными в исследуемую структуру. Программа автоматизированного исследования РП каждого нейрона обычно содержит несколь-ко этапов и начинается со сканирования стандартной световой полоской (горизонталь раз-мером $4 \times 1^\circ$) всего экспериментального экрана ($50 \times 50^\circ$) по 10 прямолинейным траекториям (например, снизу вверх), выбираемым в случайному порядке. Каждая из таких 10 проходов стимула по экрану со скоростью около 4 град/с длится 12,8 с и сопровождается вводом в ЭВМ нейронной активности. При этом в памяти ЭВМ (зона накопления) каждая строка сканирования отображается 64 бинами по 200 мс. Су-щественно, что все эти параметры легко перепрограммируются.

Автоматический поиск РП и его визуализация на дисплее. По окончании этапа сканирования в памяти ЭВМ формируется матрица $R(i, j)$, $i = 1, \dots, 10$; $j = 1, \dots, 64$, отражающая число импульсов, попавших в j -й бин i -й строки. При равномерном прямолинейном сканировании по равнодistantным траекториям элементы мат-рицы $R(i, j)$ жестко связаны с угловыми координатами стимула x и y в пространстве поля зрения. Это дает нам основания называть матрицу $R(i, j)$ картой РП в ответ на сканирующий стимул. Поиск РП осуществляется следующим образом: а) на эле-ментах i, j матрицы R отыскивается абсолютный максимум i_1, j_1 ; б) проверяются элемен-ты i_1, j_1 , $1 \leq j \leq 64$, $j \neq j_1$, расположенные вдоль строки i_1 (при превышении ими некоторого порога они также считаются принадлежащими РП); в) тем же спо-собом анализируются элементы смежных строк $i_1 - 1$, $i_1 + 1$, соседние с элементами, выделенными на шаге «б». Процедура заканчивается в случае, если на очередной проверяемой строке не найдется элементов, превышающих порог, либо по достиже-



ни краев матрицы. Выделенные в результате точки образуют связную область, окружающую найденный максимум i_1, j_1 .

Визуализация зарегистрированной карты $R(i, j)$ осуществляется путем вывода на дисплей таблицы (10×64 элемента) с указанием символами «1», «2» и «3» в порядке приоритета найденных «кандидатов» на звание РП (рис. 2, а). Выбор среди них производится экспериментатором, который, впрочем, может перейти к указанию координат дальнейшего тестирования и вручную.

Тестирование выявленного РП световыми вспышками. Программа «описывает» около найденного РП прямоугольник с вертикальными и горизонтальными сторонами и в пределах этого прямоугольника тестирует пейрон локальными световыми стимулами, вспыхивающими в случайном порядке в разных точках с частотой 0,5 Гц. Вспышки покрывают весь тестируемый прямоугольник, располагаясь в виде матрицы 10×10 (всего 100 вспышек). Эта процедура обычно производится однократно (она занимает около 3,3 мин), но может быть повторена требуемое число раз с суммацией данных. До и после тестирования происходит накопление фоновой активности пейрона.

Автоматический поиск разрядного центра и визуализация карт РП. Располагая сведениями о фоновой активности пейрона, программа с помощью простых статистических критериев [5] вычисляет порог возбуждения и выводит на дисплей две карты РП, построенные по ответам пейрона на включение и выключение световых вспышек (рис. 2, б). Первая из них отражает активность пейрона за интервал 0—200 мс от начала дляящейся не более 200 мс вспышки, вторая — за интервал 200—400 мс. Для поиска разрядных центров РП по каждой карте сначала отыскиваются «наиболее связные» области (содержащие наибольшее число соседних элементов, превышающих порог возбуждения), затем в пределах найденных областей — абсолютные максимумы, которые и считаются разрядными центрами РП. Для их наглядной визуализации соответствующие элементы карт на дисплее периодически гаснут и вспыхивают. Программа позволяет распечатать и серию карт РП, полученных из исходных данных методом временных срезов [6, 7].

Тестирование разрядного центра РП. Вспыхивающий стимул автоматически перемещается в найденный на предыдущем этапе разрядный центр РП. Здесь осуществляется накопление серии постстимульных гистограмм при различных условиях стимуляции: меняется интенсивность стимулов и их контраст с фоном, длительность экспозиции, размеры, форма и ориентация изображения, интервал между парными вспышками [7]. В каждом из этих случаев по серии накопленных ЦСГ машина строит функциональные графики, отражающие зависимость параметров (максимальная частота, число импульсов в пачке и во всем ответе, начальная и никовая латентности, момент прекращения ответа) от параметров стимула. Кроме того, оценка функций проводится не только по суммарным показателям импульсации, но и по ее отдельным временным фрагментам — временным срезам [8, 9]. При этом по статистическим критериям, выработанным заранее во время «обучения» программы [5], в каждой гистограмме выделяются значимые ответы, достоверно отличные от фона и его флуктуаций.

Значение автоматизированного исследования рецептивных полей. Разработанные аппаратурно-программные комплексы апробированы нами в ряде нейрофизиологических исследований. С их помощью получены данные о динамике зоны возбуждения и зоны торможения в РП пейронов НКТ и зрительной коры [6, 7], проведено сопоставление динамики зоны возбуждения и зоны суммации РП [10], обнаружены и исследованы динамические изменения ориентационной настройки корковых пейронов [8, 9]. Использование ЭВМ для сложной обработки нейрофизиологической информации и вырабатываемого на ее основе изменения тактики эксперимента дало ряд явно положительных результатов. Прежде всего резко увеличилась эффективность и качество автоматизированного нейрофизиологического исследования зрительных пейронов за счет ускорения и оптимизации программы исследования каждого из них по строго индивидуализированным и уточненным оценкам свойств. В какой-то мере такая индивидуализация возможна и без ЭВМ, однако в этом случае процедура значительно менее точна и требует много времени. За счет этого теряется часть информации о пейроне из-за ограниченности времени его регистрации. Не помогает в этом отношении обработка данных после опыта, так как время для индивидуализирующей коррекции программы тестирования пейрона уже упущено. Второй существенный результат использования ЭВМ для картирования РП — возможность проведения такой обработки и оценки свойств пейрона, которая вручную практически невозможна из-за громоздкости (например, временные срезы РП [6—9]). И, наконец,

Рис. 2. Пример карт рецептивного поля пейрона зрительной коры кошки на движение стимула (а) (однократное накопление) и на вспышки локального светового пятна (б) по ответам на его включения (слева) и выключения (справа) (пятикратное накопление):

а: 1 — исходная карта в виде трехмерного рельефа; 2 — карта в форме, выводимой на экране дисплея; цифры 1—3 соответствуют трем выделенным программой областям возбудительных реакций; 3 — то же, что на 1, но с обнулением зоны отсутствия достоверных реакций; б: 1 — карты РП на экране дисплея; цифры 0—9, окаймляющие карты РП, — условные координаты; двузначные цифры — количество импульсов за 200 мс, превышающее порог возбуждения; торможение отображается пробелами; найденный программой разрядный центр располагается в точке с условными координатами 3, 4; 2 — те же карты в виде трехмерного рельефа

предложенная методика, с одной стороны, дисциплинирует экспериментатора-нейрофизиолога и биофизика, требуя от него четких ответов на вопросы программы, а с другой — облегчает его труд, освобождая от массы рутинных операций ради более творческих и ответственных решений во время опыта.

Наш опыт организации экспериментов показывает, что большинство исследователей быстро преодолевает психологический барьер и уже не мыслит исследований без ЭВМ. Нет сомнений, что развитие автоматизированного сенсорного тестирования — не просто желательное, а необходимое условие успешного продвижения в понимании нейронной организации опознания сенсорных образов.

ЛИТЕРАТУРА

1. Heggelund P. Receptive field organization of simple cells in cat striate cortex.— *Exp. Brain Res.*, 1981, v. 42, p. 89.
2. Sasaki H., Bear D. M., Ervin F. R. Quantitative characterization of unit response in the visual system.— *Exp. Brain Res.*, 1971, v. 13, N 3, p. 239.
3. Spinelli D. N., Hirsch H. V. B., Phelps R. W., Metzler J. Visual experience as a determinant of the response characteristics of cortical receptive fields in cats.— *Exp. Brain Res.*, 1972, v. 15, N 3, p. 289.
4. Шевелев И. А., Марченко В. Г., Вальцев В. Б. Универсальный фотостимулятор для исследования зрительной системы человека и животных.— В кн.: Методическое и техническое обеспечение нейрофизиологического эксперимента. М.: Наука, 1976.
5. Шараев Г. А. Автоматическое выделение последовательных фаз физиологических реакций.— В кн.: Методика и техника экспериментальных исследований операторской деятельности. М.: Наука, 1982.
6. Шевелев И. А., Шараев Г. А., Волгушев М. А. и др. Динамика рецептивных полей пейронов зрительной коры и наружного коленчатого тела.— Нейрофизиология, 1982, т. 14, № 6, с. 622.
7. Шевелев И. А., Волгушев М. А., Шараев Г. А. Характеристики динамической перестройки рецептивных полей пейронов коры больших полушарий и наружного коленчатого тела кошки при изменении параметров световой стимуляции.— Нейрофизиология, 1983, т. 15, № 14, с. 347.
8. Шевелев И. А., Шараев Г. А. Сканирование диапазона ориентаций пейронами зрительной коры кошки.— Нейрофизиология, 1981, т. 13, № 5, с. 451.
9. Шевелев И. А., Шараев Г. А. Динамика ориентационной настройки пейронов зрительной коры кошки.— Нейрофизиология, 1981, т. 13, № 5, с. 451.
10. Волгушев М. А., Шевелев И. А., Дец К., Шараев Г. А., Вердеревская Н. Н. Различия в динамике зрительного рецептивного поля и его зоны суммации у кошек.— Нейрофизиология, 1983, т. 15, № 5, с. 466.

Поступило в редакцию 12 марта 1984 г.

УДК 612.014.421.8 : 621.398

Л. ГОМУТА, И. КРЕКУЛЕ, З. ТОМОРИ
(Братислава, Кошице, Прага, ЧССР)

ТЕХНИЧЕСКОЕ ОБЕСПЕЧЕНИЕ ОБРАБОТКИ ИЗОБРАЖЕНИЙ В МИКРОКОМПЬЮТЕРНЫХ СИСТЕМАХ АВТОМАТИЗАЦИИ БИОЛОГИЧЕСКИХ ЭКСПЕРИМЕНТОВ

Введение. При использовании микроЭВМ для обработки изображений, например, для вычисления геометрических параметров объектов [1], их числа, для автоматического слежения за подвижными объектами (животными в ходе опыта [2]) необходимо предварительная обработка изобразительной информации (ИИ). В статье рассмотрены подходы к сжатию ИИ и приведены примеры, описывающие слежение за подвижными объектами при помощи микроЭВМ «Электроника 60» и вычисление площади объектов, гистограмм их оптической плотности при помощи персональной микроЭВМ типа ПМД-85 («Тесла», ЧССР), а также показаны возможности автономной видеопамяти, разработанной в Институте физиологии АН ЧССР.

Системы ввода ИИ в ЭВМ. Для ввода ИИ используются три типовых подхода, отличающихся быстродействием, сложностью реализации и уровнем сжатия ИИ: а) ввод кадра по столбцам; б) ввод кадра ИИ, сжатого на 1 бит/элемент в реальном времени; в) ввод ИИ, сжатой по строкам или кадрам.

Ввод ИИ по столбцам заключается в том, что из каждого кадра вводится один столбец элементов матрицы ИИ. Этим способом нельзя пользоваться для обработки нестационарной сцены из-за низкого быстродействия. Технически это решается при